

К. т. н. В. И. ОБОРЖИЦКИЙ

Украина, г. Львов, НУ «Львовская политехника»
E-mail: oborzh@polynet.lviv.ua

Дата поступления в редакцию
11.06 2007 г.

Оппонент к. т. н. Э. Н. ГЛУШЕЧЕНКО
(НПП «Сатурн», г. Киев)

МЕТОД РАСЧЕТА МНОГОКАНАЛЬНЫХ ЛУЧЕВЫХ ПЕРЕКЛЮЧАТЕЛЕЙ С СОГЛАСУЮЩИМ ОТРЕЗКОМ НА ВХОДЕ

Предлагается метод расчета электрических параметров элементов многоканального переключателя лучевого типа, у которого входное согласование обеспечивается трансформирующим отрезком линии, расположенным перед многоплечим разветвлением.

Применение микроволновых устройств многоканальной коммутации сигнала в структуре СВЧ-трактов радиотехнических систем различного предназначения сопровождается весьма жесткими требованиями относительно уровня развязки, диссипативных потерь, а также относительно уровня согласования на входе, особенно при увеличении числа выходных каналов.

Выполнение указанных требований в лучевых переключателях достигается путем выбора типа коммутирующих элементов (ключей) и схемы их соединения и путем использования согласующих четырехполюсников. При этом такие переключатели могут отличаться как способом реализации данных четырехполюсников, так и местом их размещения в структуре переключателя. Чаще всего, особенно в случае присоединения ключей параллельно к линии, в качестве согласующих четырехполюсников используют либо отрезки линий передачи [1], либо ступенчатые трансформаторы [2], расположенные между выходами многоплечего разветвления и ключами.

В [3, 4] предложены методы расчета переключателя с отрезками линий передачи, нагруженными дополнительной реактивностью, а также со ступенчатым трансформатором. Известны варианты конструкций [5], у которых согласующие четырехполюсники расположены на выходах каналов после ключей.

К общим недостаткам таких способов согласования следует отнести возможность возникновения паразитных резонансов [6], вызванных наличием отрезков линий передачи в каналах переключателя. В результате снижается уровень развязки между входом переключателя и выходами закрытых каналов, возрастают вносимые потери в открытом канале, вследствие чего сужается рабочая полоса частот.

Решение указанной проблемы может быть достигнуто путем использования согласующего четырехполюсника, расположенного на входе переключателя непосредственно перед многополюсным разветвле-

нием, при минимальной длине отрезков линий, соединяющих выходы разветвления с ключами. Поэтому цель данной работы заключалась в получении аналитических соотношений, позволяющих рассчитывать электрические параметры элементов многоканальных лучевых переключателей с различными типами ключей и согласованных указанным способом.

Структура многоканального лучевого переключателя

Лучевые N -канальные переключатели работают в режиме, когда один из выходных каналов открыт, а остальные $N-1$ выходов закрыты. При этом структура всех каналов идентична.

В рассматриваемом случае она имеет вид, представленный на рис. 1. Здесь, как и в других вариантах конструкций переключателей, коммутационный четырехполюсник (КЧ) образован одним или несколькими ключами, соединенными по определенной схеме. Вместе с сопротивлением нагрузки Z_c (волновым сопротивлением линии передачи на выходе канала) он образует двухполюсник — обобщенный коммутационный элемент (ОКЭ) [3, 6]. В зависимости от состояния канала входной импеданс ОКЭ в сечении $b-b$ (рис. 1) может принимать два значения — Z_{b-bo} , Z_{b-bz} , где индекс “о” относится к открытому состоянию канала, а индекс “з” — к закрытому состоянию.

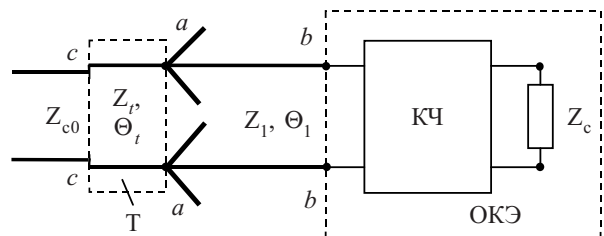


Рис. 1. Структура каналов переключателя

Отличительная особенность данной структуры заключается в том, что трансформирующий четырехполюсник Т, например в виде отрезка линии передачи (электрическая длина Θ_t , волновое сопротивление Z_t), с помощью которого обеспечивается входное согласование устройства, размещен на его входе перед многоканальным разветвлением линий передачи (сечение $a-a$), а в каждом из каналов при необходимости используются отрезки линий (электрическая дли-

ТЕХНИКА СВЕРХВЫСОКИХ ЧАСТОТ

на Q_1 , волновое сопротивление Z_1), соединяющие разветвление с входом КЧ.

Известно [6], что основные рабочие параметры переключателя, т. е. вносимые потери в открытом канале и развязка между входом переключателя и выходом закрытого канала, зависят от коэффициента деления мощности m между входами открытого и закрытого каналов. При *параллельном разветвлении* линий передачи этот параметр определяется отношением $m=G_o/G_3$, где $G_{o,3}$ — активные составляющие комплексной проводимости канала

$$Y_{o,3} = G_{o,3} + jB_{o,3}$$

на его входе в точке разветвления (сечение $a-a$), $B_{o,3}$ — реактивные составляющие.

Максимальное значение коэффициента m не может превышать значения параметра качества K ОКЭ, определяемого [7, с. 254] исходя из значений $Z_{b-bo,3}$, которые в свою очередь рассчитываются исходя из эквивалентной схемы ключей, схемы их соединения и значения Z_c . Поскольку входная проводимость $Y_{o,3}$, а следовательно и коэффициент m , при заданных параметрах ОКЭ зависят от параметров соединительного отрезка Z_1 , Θ_1 , то их выбор оказывает существенное влияние на достижимые значения рабочих параметров переключателя.

Выбор параметров соединительных отрезков

С помощью соединительного отрезка входная проводимость ОКЭ

$$Y_{b-bo,3} = 1/Z_{b-bo,3} = G_{b-bo,3} + jB_{b-bo,3}$$

трансформируется во входную проводимость канала $Y_{o,3}$, составляющие которой в данном случае равны:

$$G_{o,3} = Y_1^2 G_{b-bo,3} (1 + t_1^2) / D_{o,3}; \quad (1)$$

$$B_{o,3} = [Y_1^2 B_{b-bo,3} (1 - t_1^2) + Y_1 (Y_1^2 - |Y_{b-bo,3}|^2) t_1] / D_{o,3}, \quad (2)$$

где $Y_1 = 1/Z_1$; $t_1 = \operatorname{tg} \Theta_1$;

$$D_{o,3} = |Y_{b-bo,3}|^2 t_1^2 - 2Y_1 B_{b-bo,3} t_1 + Y_1^2.$$

Тогда для коэффициента деления m с использованием (1) можно записать:

$$m = \frac{G_{b-bo} D_3}{G_{b-bo} D_o}. \quad (3)$$

В зависимости от требований относительно уровня рабочих параметров переключателя выбор значений параметров Y_1, Θ_1 отрезков может осуществляться в следующих вариантах.

Преобразование к каноническому ключу. Предельные значения рабочих параметров переключателя достигаются при $m=K$ [6], что соответствует преобразованию его каналов к форме канонического коммутационного элемента [7, с. 254], у которого $G_o=KG_3$ и $Y_{o,3}=G_{o,3}$, т. е. $B_o=B_3=0$. Приравняв нулю числитель выражения (2), получаем систему уравнений относительно переменных Y_1, t_1 , корни которых обеспечивают выполнение последнего условия. В этом случае значения t_1 определяются из решения биквадратного уравнения

$$t_1^4 - (2 + \frac{b^2}{ac})t_1^2 + 1 = 0, \quad (4)$$

$$\text{где } b = |Y_{b-bo}|^2 - |Y_{b-bo}|^2;$$

$$a = |Y_{b-bo}|^2 B_{b-bo} - |Y_{b-bo}|^2 B_{b-bo};$$

$$c = B_{b-bo} - B_{b-bo},$$

а волновая проводимость Y_1 рассчитывается следующим образом:

$$Y_1 = \frac{bt_1}{c(1-t_1^2)}. \quad (5)$$

Значения t_1, Y_1 , определенные по (4), (5), при которых проверка с помощью (1) условия $G_o=KG_3$ приводит к положительному результату, обеспечивают преобразование канала в канонический коммутационный элемент.

Получение максимального значения m . При некоторых параметрах КЧ и значениях Z_c не удается с помощью соединительного отрезка трансформировать ОКЭ в канонический ключ, поскольку расчеты по (4), (5) либо приводят к результатам, которые трудно технически реализовать, либо не дают решений в виде действительных чисел. В этом случае необходимо задать значение одного из параметров соединительных отрезков и определить, при каком значении другого параметра обеспечивается максимальное для данного случая значение коэффициента $m=m_{\max}$, т. е. наибольший уровень развязки и минимум вносимых потерь.

Чаще всего задается значение волнового сопротивления Z_1 . Тогда из равенства $dm/dt_1=0$ с учетом (3) можно записать квадратное уравнение относительно t_1 :

$$at_1^2 + Y_1 bt_1 - Y_1^2 c = 0, \quad (6)$$

где коэффициенты a, b, c рассчитываются так же, как и для уравнения (4). Значение m_{\max} определяется путем подстановки Y_1 и корней уравнения (6) в (3).

Получение заданного значения m . В некоторых случаях, связанных, например, с необходимостью изменения длины соединительного отрезка Θ_1 при желаемом значении Z_1 , требуется задавать значение коэффициента $m < m_{\max}$. Тогда длина отрезка определяется из корней уравнения (6), коэффициенты которого рассчитываются следующим образом:

$$a = m |Y_{b-bo}|^2 G_{b-bo} - |Y_{b-bo}|^2 G_{b-bo};$$

$$b = 2(G_{b-bo} B_{b-bo} - m G_{b-bo} B_{b-bo});$$

$$c = G_{b-bo} - m G_{b-bo}.$$

Если соединительный отрезок не используется, тогда $m=G_{b-bo}/G_{b-bo}$.

Расчет согласующего трансформатора

Согласующий четырехполюсник Т обеспечивает трансформацию суммарной входной проводимости $\bar{Y}_{a-a} = G_{a-a} + jB_{a-a}$ из точки разветвления (сечение $a-a$) в волновую проводимость входной линии $Y_{c0} = 1/Z_{c0}$ в сечении $c-c$ (рис. 1). В этом случае активная и реактивная составляющие проводимости Y_{a-a} равны:

$$\begin{aligned} G_{a-a} &= G_o + (N-1)G_z; \\ B_{a-a} &= B_o + (N-1)B_z. \end{aligned} \quad (7)$$

Составляющие $G_{o,3}$ и $B_{o,3}$ входной проводимости открытого и закрытого каналов рассчитываются по (1), (2) с использованием значений Z_1 , Θ_1 , определенных одним из указанных выше способов. Если же соединительный отрезок отсутствует, тогда эти составляющие будут равны $G_{o,3}=G_{b-bo,3}$, $B_{o,3}=B_{b-bo,3}$.

В рассматриваемом случае в качестве согласующего трансформатора использован отрезок линии передачи. Выражения для расчета волновой проводимости $Y_t=1/Z_t$ этого отрезка и его электрической длины Θ_t , полученные из уравнения трансформации импеданса, имеют вид

$$Y_t = \sqrt{\frac{G_{a-a} Y_{c0}^2 - |Y_{a-a}|^2 Y_{c0}}{Y_{c0} - G_{a-a}}}; \quad (8)$$

$$\Theta_t = \arctg \left(Y_t \frac{Y_{c0} - G_{a-a}}{Y_{c0} B_{a-a}} \right). \quad (9)$$

Если каналы переключателя преобразованы к каноническому виду, тогда входное согласование обеспечивается с помощью обычного четвертьвольнового трансформирующего отрезка с $Y^2=G_{a-a}Y_{c0}$, что и подтверждается выражениями (8), (9).

В случае многоканального переключателя с *последовательным разветвлением* линий передачи для расчетов используются соотношения (5)–(9) с заменой всех проводимостей на соответствующие со-противления.

Примеры расчета переключателей

Использование предлагаемого метода может быть продемонстрировано на примерах расчета электрических параметров и компьютерного моделирования на их основе переключателей с разными типами ключей и разным числом выходов.

Пример 1. Рассматривается вариант двухканального переключателя, аналогичного приведенному в [6], функцию ключей которого выполняют пленки с высокотемпературной сверхпроводимостью (**ВТСП**). Отличие состоит в том, что в переключателе [6] согласующие четырехполюсники в виде отрезка линии передачи с параллельным реактивным шлейфом расположены в каждом канале между выходом параллельного разветвления линий и последовательно присоединенным ключом.

В процессе расчета переключателя с трансформирующим отрезком на входе установлено, что при данном типе ключей и 50-омных линиях на выходах каналов преобразование их к каноническому виду не представляется возможным из-за недопустимых значений Z_1 . Поэтому при расчетах потребовалось задавать значения волновых сопротивлений Z_c и Z_1 .

На рис. 2 приведены амплитудно-частотные характеристики (АЧХ) коэффициентов передачи с входа переключателя на открытый $|S_{21}|$ и закрытый $|S_{31}|$ выходы, полученные в результате компьютерного моделирования при $Z_{c0}=50$ Ом, $Z_c=70$ Ом, $m=4,6$,

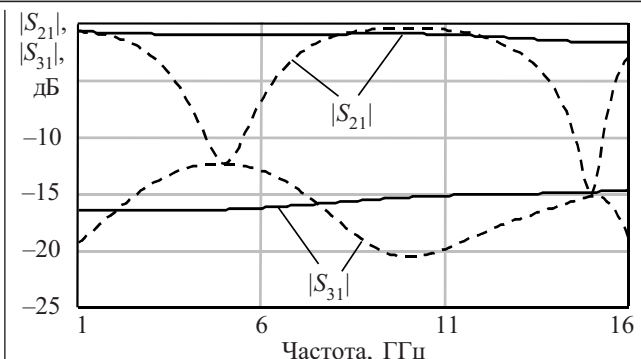


Рис. 2. АЧХ открытого ($|S_{21}|$) и закрытого ($|S_{31}|$) каналов переключателя с ВТСП-пленками

$Z_1=40$ Ом, $\Theta_1=2^\circ$, $Z_t=68,8$ Ом, $\Theta_t=133,3^\circ$. Пунктирные кривые на рис. 2 относятся к переключателю [6].

Из приведенных результатов видно, что использование согласующего отрезка на входе позволило избежать длинных отрезков линий в каналах переключателя и, следовательно, исключить возникновение резонансов закрытых каналов, из-за которых на АЧХ [6] появляются «провалы», сужающие рабочую полосу частот переключателя. Снижение по сравнению с [6] на расчетной частоте 10 ГГц уровня развязки и увеличение вносимых потерь связано с меньшим значением параметра качества, равного в данном случае $K=5,85$, и соответственно с меньшим значением коэффициента m .

Пример 2. Рассматривается вариант переключателя с $N=4$, в качестве ключей которого использованы выключатели микроЭлектромеханической системы (МЭМС) контактного типа с параметрами [2]: сопротивление в нижнем состоянии $R_d=1$ Ом, емкость в верхнем состоянии $C_u=0,002$ пФ. Электрические параметры элементов такого переключателя, рассчитанные при $Z_{c0}=50$ Ом, $Z_c=70$ Ом, $m=10898$ ($K=11040$) на частоте 15 ГГц, составили: $Z_1=75$ Ом, $\Theta_1=4,05^\circ$, $Z_t=75,46$ Ом, $\Theta_t=8,14^\circ$. АЧХ его коэффициентов передачи, полученные в результате компьютерного моделирования, приведены на рис. 3. Там же приведена частотная характеристика обратных потерь (модуля коэффициента отражения $|S_{11}|$) на входе переключателя. По сравнению с примером 1 данный переключатель отличается высоким уровнем развязки и

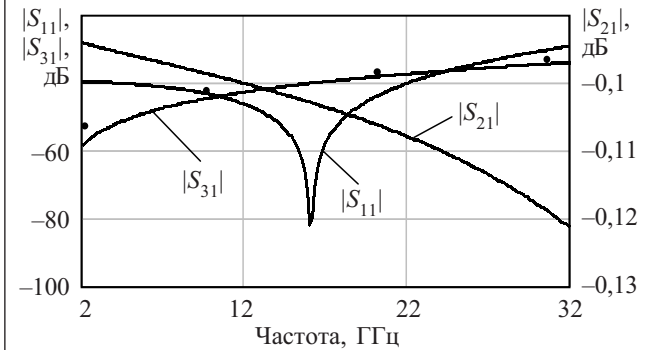


Рис. 3. АЧХ открытого ($|S_{21}|$), закрытого ($|S_{31}|$) каналов и входного коэффициента отражения ($|S_{11}|$) переключателя с МЭМС-ключами

ТЕХНИКА СВЕРХВЫСОКИХ ЧАСТОТ

малыми вносимыми потерями, что обусловлено большим значением параметра качества его ОКЭ.

Полученные результаты хорошо соответствуют приведенным в [2] результатам моделирования и экспериментальных исследований (на рис. 3 — точки для $|S_{31}|$) подобного варианта переключателя, реализованного в микрополосковом исполнении на GaAs-подложке толщиной 200 мкм. Здесь для согласования использована более сложная схема с трансформирующим отрезком на входе и со ступенчатыми трансформаторами в каждом из каналов переключателя.

Заключение

Предложенный метод расчета дает возможность определять электрические параметры элементов многоканального переключателя лучевого типа, при которых может быть обеспечен предельный (путем преобразования каналов к каноническому виду) или максимально допустимый уровень его рабочих параметров. Использование простой схемы входного согласования позволяет избежать возможности возникновения паразитных резонансов и тем самым расширить рабочую полосу частот.

Приведенные примеры расчета и компьютерного моделирования подтверждают целесообразность при-

менения данного метода в процессе проектирования многоканальных лучевых переключателей.

ИСПОЛЬЗОВАННЫЕ ИСТОЧНИКИ

1. Вайблат А. В. Коммутационные устройства СВЧ на полупроводниковых диодах.— М.: Радио и связь, 1987.
2. Tan G.-L., Mihailovich R. E., Hacker J. B. et al. Low-loss 2- and 4-bit TTD MEMS phase shifters based on SP4T switches // IEEE Trans. Microwave Theory Tech.— 2003.— Vol. 51.— N 1.— P. 297—304.
3. Оборжицкий В. Особливості синтезу електричних параметрів багатоканальних НВЧ перемикачів // Вісник Нац. ун-ту «Львівська політехніка».— 2004.— № 508.— С. 207—215.
4. Oborzhitskyy V. I. Design of SPMT switches matched by means of transforming four-poles // Proc. of 6th Intern. Conf. on Antenna Theory and Techniques ICATT'07.— Sevastopol.— 2007.— P. 137—139.
5. Shigematsu T., Suematsu N., Takeuchi N. et al. A 6—18 GHz 20W SPDT switch using shunt discrete PIN-diodes // MTT-S International Microwave Symposium.— Denver, Colorado, USA.— 1997.— Digest 2.— P. 527—530.
6. Оборжицкий В. И., Гонтар В. Д. Особенности расчета дискретных СВЧ-фазовращателей с переключаемыми каналами // Технология и конструирование в электронной аппаратуре (ТКЭА).— 2007.— № 2.— С. 23—28.
7. Сазонов Д. М., Гридин А. Н., Мишустин Б. А. Устройства СВЧ.— М.: Высш. школа, 1981.

НОВЫЕ КНИГИ

НОВЫЕ КНИГИ



Оценивание дальности и скорости в радиолокационных системах. Ч. 2 /
Под ред. В. И. Меркулова.— М.: Радиотехника, 2007.— 304 с., ил.

Рассмотрены методы синтеза оптимальных и упрощенных алгоритмов оценивания дальности и скорости в радиолокационных системах при сопровождении воздушных целей. Приведены алгоритмы функционирования и результаты исследований эффективности комплексных, многоконтурных, адаптивных и двухдиапазонных измерителей дальности и ее производных, в том числе и при автоматическом сопровождении целей в режиме обзора.

Для научных сотрудников и инженеров, связанных с проектированием и эксплуатацией радиолокационных систем и систем радиоуправления, а также для преподавателей, аспирантов и студентов радиотехнических факультетов высших учебных заведений.

НОВЫЕ КНИГИ



Верба В. С. Обнаружение наземных объектов. Радиолокационные системы обнаружения и наведения воздушного базирования.— М.: Радиотехника, 2007.— 360 с., ил.

Данная монография — первая книга из серии «Системы мониторинга воздушного, космического пространства и земной поверхности» — посвящена анализу современного состояния и развития отечественных и зарубежных радиолокационных систем воздушного базирования; содержит результаты многолетних теоретических и экспериментальных исследований автора, посвященных различным аспектам изучения и разработки бортовых локационных систем.

Предназначена для специалистов в области радиолокации, а также аспирантов и студентов старших курсов высших учебных заведений радиотехнического профиля.